

©1995

ЭВОЛЮЦИЯ КРУПНОМАСШТАБНЫХ
НЕОДНОРОДНОСТЕЙ ПРИ СЕГНЕТОЭЛЕКТРИЧЕСКОМ
ФАЗОВОМ ПЕРЕХОДЕ В КРИСТАЛЛАХ BaTiO₃,
ДОПИРОВАННЫХ ТРЕХВАЛЕНТНЫМ ВИСМУТОМ

O.Ю.Коршунов, Н.Н.Крайник, Л.С.Камзина, С.А.Флерова

Физико-технический институт им. А.Ф.Иоффе Российской академии наук,
194021, Санкт-Петербург, Россия
(Поступила в Редакцию 10 февраля 1995 г.)

Исследовалось прохождение сегнетоэлектрического фазового перехода в кристалле BaTiO₃, дopedированном Bi₂O₃. Приводятся результаты исследования картины малоуглового рассеяния света, оптического изображения кристалла в скрещенных николях, оптического пропускания, диэлектрической проницаемости ϵ и tg δ . Обнаружено возникновение крупномасштабных регулярных неоднородностей при разрушении устойчивой квадратно-сетчатой доменной структуры, наблюдающейся в тетрагональной сегнетоэлектрической фазе при температурах ниже 118°C. Изучены эволюция этих неоднородностей и изменения доменной структуры при последующем переходе в кубическую fazу при температурах выше температуры разрушения крупномасштабных неоднородностей. Предполагается вхождение в матрицу BaTiO₃ упорядоченных калий-висмутовых комплексов.

Влияние дефектов на процессы прохождения сегнетоэлектрических фазовых переходов и возникновения крупномасштабных неоднородностей изучено недостаточно. Такие исследования необходимы для развития представлений о возникновении неоднородных крупномасштабных структур, существенно влияющих на свойства зарождающихся кристаллических faz. Ранее было теоретически предсказано [1], что в достаточно чистых кристаллах с небольшими концентрациями дефектов в области фазовых переходов первого рода в некотором интервале температур возможно возникновение гетерофазной структуры с регулярно чередующимися крупномасштабными областями паразелектрической и сегнетоэлектрической faz. Это было экспериментально подтверждено для ряда сегнетоэлектриков, в том числе для такого модельного объекта, как BaTiO₃ [2]. При наличии некоторого разупорядочения в распределении ионов в однотипных кристаллографических положениях в решетке фазовый переход в сегнетоэлектрическое состояние может приобретать переколяционный характер и сопровождаться резкими пиками интенсивности малоуглового рассеяния света вследствие возникновения «бесконечного» кластера появляющейся fazы [3,4].

Для развития представлений о влиянии дефектов на прохождение сегнетоэлектрического фазового перехода представляет интерес исследовать характер и эволюцию возникающих при фазовом переходе крупномасштабных неоднородностей в дopedированных кристаллах титаната бария.

В качестве объекта исследования были выбраны кристаллы BaTiO₃, dopedированные 0.3 mol.% Bi₂O₃, выращенные из раствора в расплаве KF, имеющие температуру максимума диэлектрической проницаемости $\epsilon(T)$ $T_m = 140^\circ\text{C}$, обладающие устойчивой доменной структурой с регулярным квадратно-сетчатым мотивом, воспроизведенным после многократных перегревов выше температуры Кюри [5]. Кристаллы выращивались методом спонтанной кристаллизации с использованием барийтитанилоксалата марки «ОСЧ» и KF и Bi₂O₃ марки «ЧДА». Содержание Bi₂O₃ в кристаллах было оценено с помощью химического и спектрального анализов. Доменная сетка в плоскости (001) была ориентирована по направлениям [100] и [010], каждая ячейка сетки образована однотипной комбинацией *a*- и *c*-доменов с преимущественным содержанием *c*-доменов. Эта стабильная доменная структура сходна с доменной структурой номинально чистых кристаллов BaTiO₃, подвергнутых деформации кручения [6], что позволяет предполагать возникновение при дopedировании воспроизводимого характера механических напряжений, стабилизирующих подобную доменную структуру. Возможные причины воспроизводимости напряжений будут обсуждены далее.

Для изучения процессов возникновения и эволюции крупномасштабных неоднородностей при сегнетоэлектрическом фазовом переходе в кристаллах BaTiO₃, dopedированных Bi³⁺, проводились исследования малоуглового рассеяния света в видимой области спектра. Картина рассеяния дает возможность получать информацию о размерах рассеивателей, их форме и ориентации относительно кристаллографических направлений. В интервале температур 20–170°C были измерены температурные зависимости интенсивности света, проходящего через кристалл. При различных температурах вид кристалла контролировался в поляризационном микроскопе в скрещенных николях (увеличение 1:400, разрешение составляло 3 μm). Кроме того, регистрировалось изменение картины рассеянного света, прошедшего через кристалл (в телесном угле 3°), при изменении температуры. Измерялись температурные зависимости диэлектрической проницаемости ϵ , тангенса угла диэлектрических потерь $\operatorname{tg} \delta$ при частотах 10³–10⁶ Hz.

Диэлектрические и оптические измерения проводились одновременно в режиме нагревания образца. При оптических измерениях поляризация света ориентировалась вдоль кристаллографического направления [110], естественная огранка кристалла соответствовала направлениям типа {100}. Блок-схема измерительной установки представлена на рис. 1.

Типичные температурные зависимости диэлектрической проницаемости $\epsilon(T)$, $\operatorname{tg} \delta(T)$ на некоторых частотах, а также оптического пропускания $I(T)$ представлены на рис. 2, 3. На кривых $\epsilon(T)$ и $\operatorname{tg} \delta(T)$ при одной и той же температуре $T_1 = 118^\circ\text{C}$ наблюдались максимумы; кроме того, при температуре $T_2 = 140^\circ\text{C}$ наблюдался основной максимум $\epsilon(T)$, а соответствующий ему максимум $\operatorname{tg} \delta(T)$ наблюдался ниже T_2 .

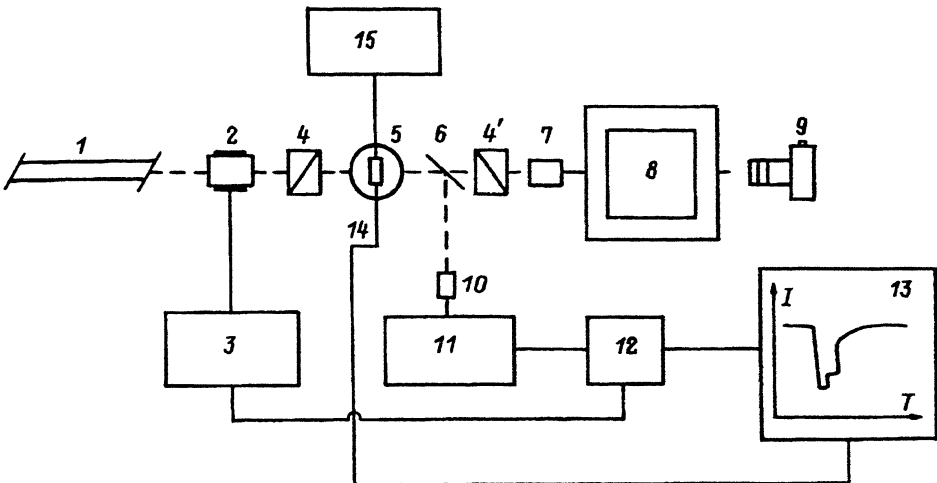


Рис. 1. Блок-схема измерительной установки.

1 — гелий-неоновый лазер ЛГ-79 ($\lambda = 0.6328 \mu\text{m}$), 2 — электрооптический модулятор МЛ-3, 3 — генератор звуковых частот, 4, 4' — поляризаторы, 5 — кристалл в криостате, 6 — полупрозрачная пластина, 7 — видеокамера, 8 — телевизор, 9 — фотоаппарат, 10 — фотодиод, 11 — селективный усилитель, 12 — синхронный детектор, 13 — двухкоординатный самописец, 14 — термопара медь-константан, 15 — мост для проведения диэлектрических измерений.

Как видно из рис. 2, температуры обоих максимумов $\varepsilon(T)$ и $\operatorname{tg} \delta(T)$ практически не зависят от частоты измерений. При охлаждении кристалла значения T_1 были на $\sim 2^\circ$ ниже, чем при нагревании, что указывало на наличие температурного гистерезиса. Величины значений $\varepsilon(T)$ и $\operatorname{tg} \delta(T)$ в максимумах зависят от числа циклов изменения температуры и интервала времени между этими циклами. Это, по-видимому, свидетельствует об изменении состояния дефектов, захватывающих носители заряда, участвующие в проводимости, что приводит к изменениям степени закрепления дефектами слабо связанных участков доменных границ, движение которых вносит вклад в диэлектрическую проницаемость.

В области $T_1 = 118^\circ\text{C}$ наблюдается скачкообразное падение величины пропускания $I(T)$ (рис. 3), завершающееся при $T = 118.5^\circ\text{C}$, затем пропускание практически не изменяется до 120°C , при 120°C виден скачкообразный рост, происходящий обычно в два этапа. При температуре больше 121°C скорость роста $I(T)$ плавно замедляется, и при $T_2 = 140^\circ\text{C}$ наблюдается насыщение $I(T)$, и пропускание перестает заметно меняться с ростом температуры.

Согласно нашим данным по рассеянию света, при температурах от комнатной до T_1 реализуется практически неизменная совокупность оптических неоднородностей, вызывающих появление квазинепрерывной крестообразной, ориентированной по двум взаимно перпендикулярным направлениям типа $\langle 100 \rangle$ картины рассеяния стандартного вида. При температуре T_1 одновременно со скачкообразным уменьшением пропускания и низкотемпературными максимумами $\varepsilon(T)$ и $\operatorname{tg} \delta(T)$ скачком изменяется картина распределения интенсивности рассеянного света: центральный световой пучок размазывается в веретенообразную фигуру рассеяния с осью вдоль $[010]$. На рис. 4, а представ-

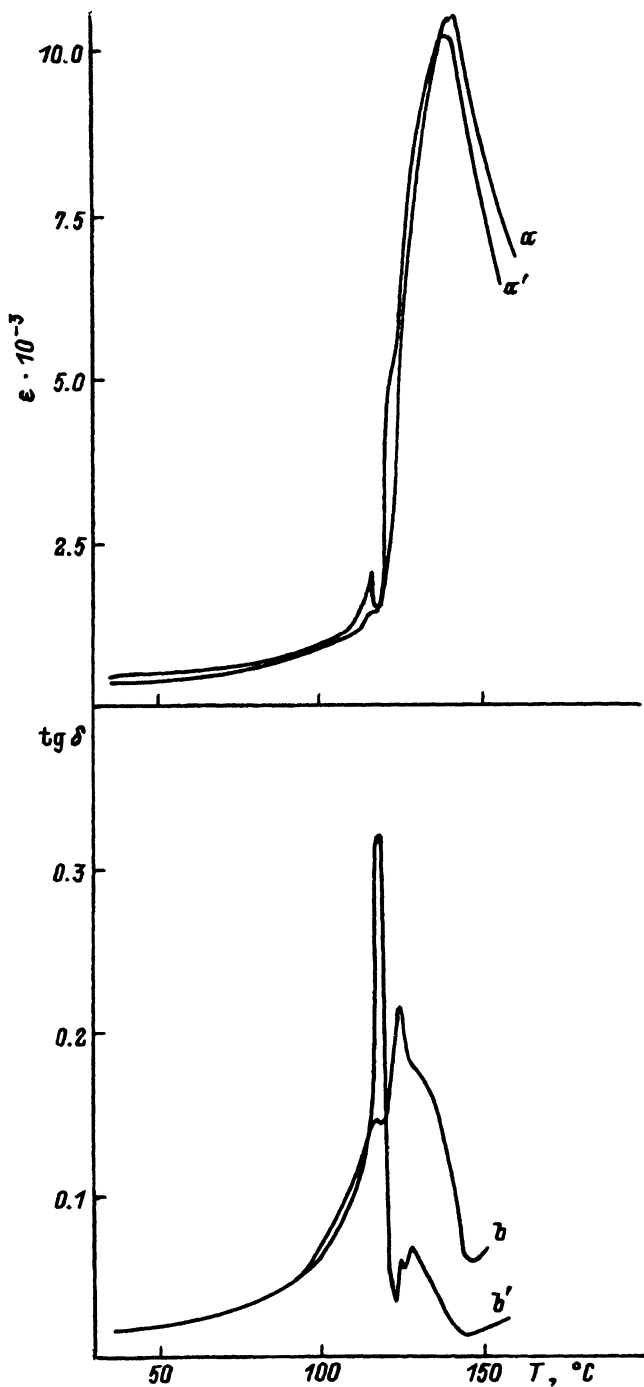


Рис. 2. Температурная зависимость диэлектрической проницаемости (a, a') и $\text{tg } \delta$ (b, b') при частотах измерительного поля 45 (a, b) и 1250 kHz (a', b').

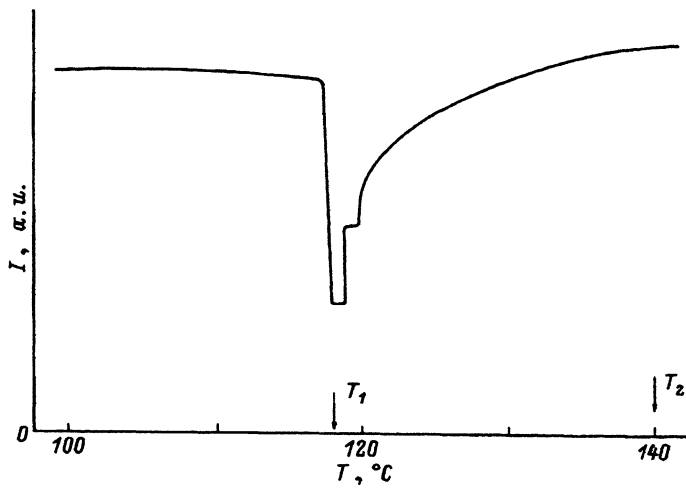


Рис. 3. Температурная зависимость оптического пропускания, снятая при нагревании образца.

лена картина рассеяния при температуре на 0.3°C выше T_1 . Соответствующее этой картине изображение кристалла в скрещенных николях схематически показано на рис. 5. Видна регулярная «ковровая» структура с границами, ориентированными вдоль [100] и [110], соответствующая существованию крупномасштабных областей низкотемпературной структуры с областями высокотемпературной полосчатой доменной структуры. Размеры неоднородностей, вызывающих рассеяние, достигают $200\ \mu\text{m}$. Полосы в этой многослойной структуре имеют различную ширину и ориентированы в направлениях типа $\langle 100 \rangle$. При этом не наблюдалось объемных областей, которые оставались бы темными при изменении угла поворота николей относительно кристалла, т.е. в пределах чувствительности не было обнаружено возникновения заметных объемов кубической фазы (однако из-за сложного характера наблюдаемой доменной структуры нельзя исключить возможного возникновения тонких слоев этой фазы).

При температуре $T_1 + 1.4^{\circ}\text{C}$ на картине рассеяния света видны деление веретенообразной фигуры вдоль направления [010] и уменьшение размеров и интенсивности ее центральной части, что указывает на начавшееся скачкообразное измельчение крупномасштабных неоднородностей (рис. 4, б). Структура этого типа сохранялась до $T_1 + 2.6$.

При $T_1 + 2.6$ наблюдался скачок $\varepsilon(T)$ вверх и постепенно восстановливалась картина рассеяния света в виде креста (рис. 4, с). В температурном интервале между $T_1 + 2.6$ и T_2 в скрещенных николях четко была видна высокотемпературная слоистая полосчатая доменная структура с полосами различной ширины, ориентированными вдоль направлений типа $\langle 100 \rangle$, наблюдавшаяся ранее в [5]. В этом температурном интервале ширина полос уменьшалась при нагревании, причем в первую очередь измельчались более широкие полосы. Постепенному росту пропускания соответствовало уменьшение размеров рассеивателей, интенсивность крестообразной картины постепенно падала, начиная с малых углов к большим (рис. 4, д). Измельчение доменной структуры происходило постепенно, при $T_2 = 140^{\circ}\text{C}$ картина рассеяния

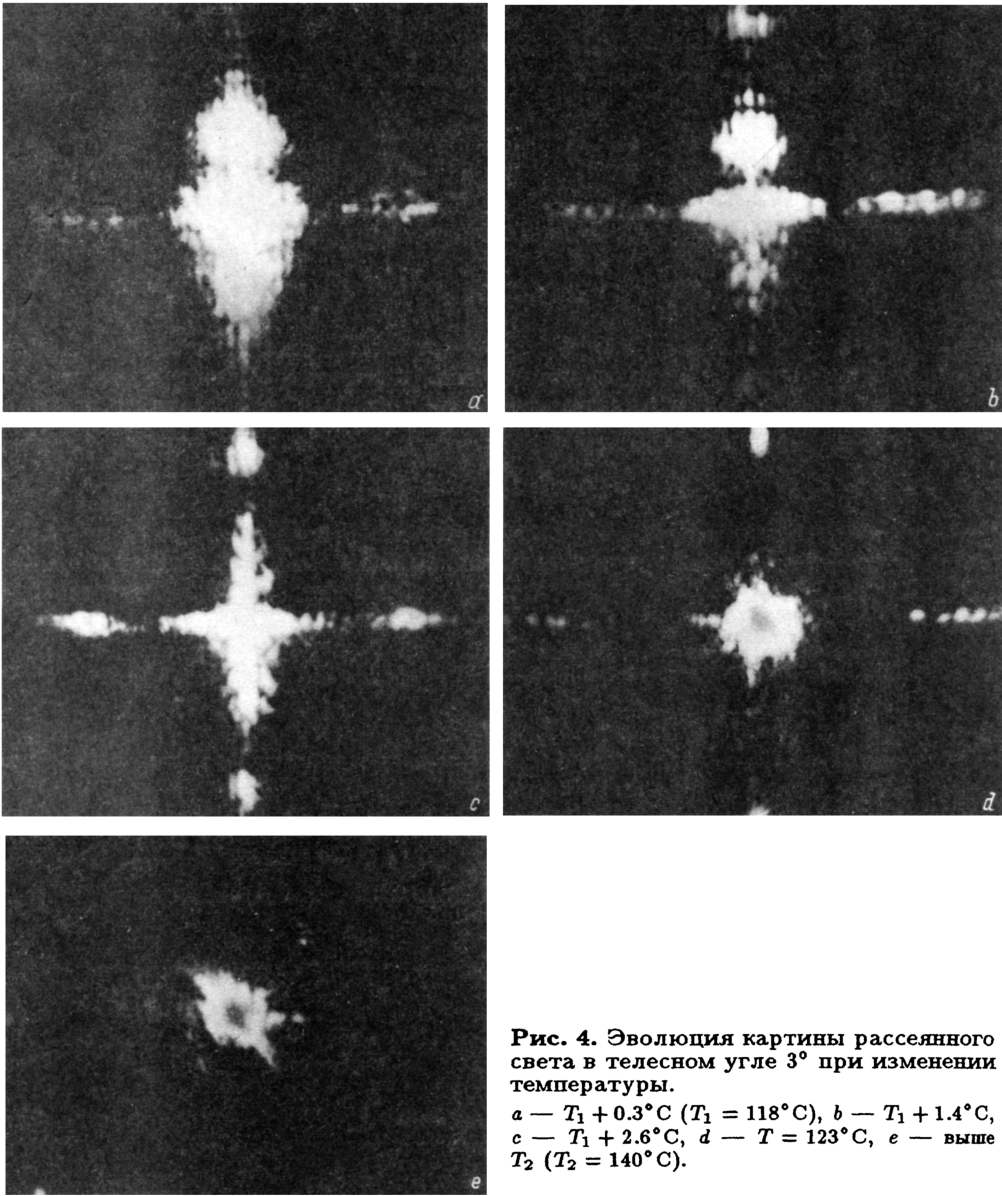


Рис. 4. Эволюция картины рассеянного света в телесном угле 3° при изменении температуры.

a — $T_1 + 0.3^\circ\text{C}$ ($T_1 = 118^\circ\text{C}$), b — $T_1 + 1.4^\circ\text{C}$,
 c — $T_1 + 2.6^\circ\text{C}$, d — $T = 123^\circ\text{C}$, e — выше
 T_2 ($T_2 = 140^\circ\text{C}$).

яния переходит в картину с центральным пятном, соответствующим проходящему через кристалл лазерному лучу (рис. 4, e). Изображение кристалла в скрещенных николях чернело. Выше T_2 , по данным рассеяния света, неоднородности практически не наблюдались.

Таким образом, выше T_2 возникает кубическая параэлектрическая фаза. Константа Кюри–Вейсса, определенная из зависимости $\varepsilon(T)$, составляет $\sim 3 \cdot 10^5 \text{ K}^{-1}$, температура Кюри–Вейсса T_0 равна 137°C . По совокупности полученных данных, в частности об отсутствии заметного сдвига T_2 при изменении частоты измерения, можно сделать вывод о том, что T_2 является температурой Кюри слабо размытого фазового перехода.

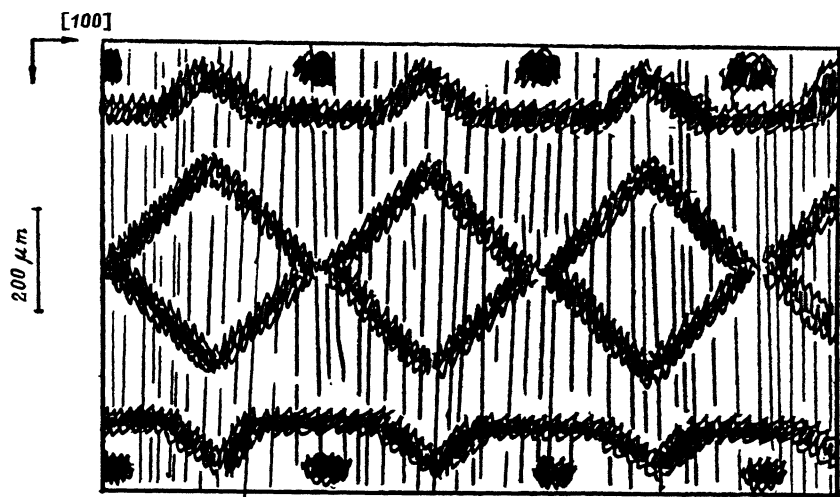


Рис. 5. Изображение кристалла в скрещенных николях при температуре $T_1 + 0.3^\circ\text{C}$.

Обсудим возможные причины обнаруженного повышения температуры Кюри BaTiO_3 при додировании Bi^{3+} . В литературе имеются противоречивые сведения об изменении T_c при введении Bi^{3+} . В [7] было впервые обнаружено понижение T_c керамики BaTiO_3 при введении $\text{Bi}_2\text{O}_3 \cdot n\text{TiO}_2$. В [8] утверждается, что в кристаллах BaTiO_3 , выращенных из раствора в расплаве BaCl_2 , также наблюдается повышение T_c при введении Bi_2O_3 . В ряде работ наблюдалось повышение T_c при введении Bi_2O_3 в матрицу BaTiO_3 , выращенного по методу Ремейки из раствора в расплаве KF [6,8]. Такое повышение T_c позволяет предполагать вхождение в решетку исследуемых нами кристаллов при их росте из раствора в расплаве KF не только ионов Bi^{3+} , но также и ионов K^+ , обеспечивающее электронейтральность решетки. При замещении ионами Bi^{3+} и K^+ положений типа А в соединении ABO_3 со структурой перовскита могут образовываться твердые растворы $\text{BaTiO}_3 \text{-} \text{K}_{0.5}\text{Bi}_{0.5}\text{TiO}_3$. Как известно [9], калий-висмутовый титанат имеет температуру Кюри 380°C , ниже 300°C он является тетрагональным сегнетоэлектриком [10,11]. Таким образом, при вхождении калий-висмутового титаната в решетку BaTiO_3 T_c может повышаться. Однако содержание в наших кристаллах $0.3\text{ mol.}\%$ Bi_2O_3 может соответствовать средней концентрации калий-висмутового титаната не более $1.2\text{ mol.}\%$. При равномерном распределении различных ионов в положениях типа А это может приводить к повышению T_c примерно на 3° при предположении линейной концентрационной зависимости T_c .

Наблюданное повышение T_c на 20° не может быть объяснено равномерным распределением различных ионов, а свидетельствует о возникновении в процессе роста кристалла неоднородностей в распределении Bi^{3+} и K^+ в объеме кристалла. Наиболее предпочтительным объяснением подобного повышения T_c является, по-видимому, предположение о вхождении в решетку BaTiO_3 комплексов, образуемых ионами K^+ и Bi^{3+} , локализованных в соседних положениях А вдоль направлений типа $\langle 100 \rangle$, т.е. на минимальном расстоянии порядка периода элементарной ячейки. Эти комплексы в остальных ближайших

положениях типа А окружены ионами Ba^{2+} . Образование комплексов такого типа является преимущественным как по электростатической энергии благодаря минимальному расстоянию вдоль $\langle 100 \rangle$ между Bi^{3+} и K^+ , так и по упругой энергии при учете упругого взаимодействия с ионами кислорода для различных расположений Bi^{3+} относительно K^+ в элементарной ячейке. Подобные комплексы обладают большими электрическими дипольными моментами за счет различия зарядов Bi^{3+} и K^+ в ближайших положениях А. Упорядоченное, например слоистое, расположение в матрице BaTiO_3 подобных комплексов, возникающее при росте кристалла, может по-видимому, существенно повышать температуру Кюри кристалла благодаря взаимодействию таких комплексов с матрицей и между собой. При малых концентрациях таких комплексов в локальных объемах кристалла могут оставаться области практически недопированного BaTiO_3 с более низкими температурами Кюри. Можно предположить, что при достижении температуры фазовых переходов в этих локальных областях практически чистого BaTiO_3 инициируются изменения распределения механических напряжений за счет локального уменьшения спонтанной деформации. Эти изменения напряжений могут приводить к неустойчивости низкотемпературной сетчатой доменной структуры и вызывать наблюдаемое воспроизведенное скачкообразное ее разрушение. Возникновение и эволюция крупномасштабных неоднородностей в процессе разрушения низкотемпературной структуры и возникновение другой доменной структуры, предсказанное в [11] для фазовых переходов первого рода при учете влияния механических напряжений, согласуются с выдвигаемым нами предположением о скачкообразном включении изменений распределения механических напряжений в объеме кристалла как о причине наблюданной эволюции крупномасштабных неоднородностей.

Сходство воспроизводимой доменной структуры в исследуемых кристаллах с доменной структурой недопированных кристаллов BaTiO_3 , подвергнутых кручению [8], и обнаруженное возникновение крупномасштабных неоднородностей, возможное в достаточно упорядоченных структурах, свидетельствуют в пользу предположения об упорядоченном вхождении в матрицу BaTiO_3 калий-висмутовых комплексов, вызывающем воспроизводимое распределение механических напряжений. В исследуемом кристалле не обнаружено возникновения протекательных процессов, характеризующихся плавной угловой зависимостью интенсивности малоуглового рассеяния света в процессе прохождения фазового перехода. Возможно, это свидетельствует в пользу упорядоченного вхождения примесей в решетку BaTiO_3 .

Природа состояния, возникающего в интервале температур T_1-T_2 , нуждается в дальнейшем исследовании. Представляют интерес исследования системы твердых растворов титаната бария с калий-висмутовым титанатом, а также дальнейшие исследования возможных формирований различных комплексов при допировании титаната бария и их влияния на процесс фазового перехода.

В заключение авторы приносят глубокую благодарность О.Е.Квятковскому за плодотворное обсуждение результатов работы.

Работа выполнена при финансовой поддержке Российского фонда фундаментальных исследований (проект 93-02-14156).

Список литературы

- [1] Корженевский А.А. Изв. АН СССР. Сер. физ. **48**, 6, 1069 (1984).
- [2] Кругляков С.Б., Петров А.А., Анистратов А.Т. ФТТ **30**, 8, 2505 (1988).
- [3] Корженевский А.Л. ФТТ **29**, 9, 2754 (1987).
- [4] Камзина Л.С., Корженевский А.Л. Письма в ЖЭТФ **50**, 3, 146 (1989).
- [5] Синяков Е.В., Дудник Е.Ф., Флерова С.А. Кристаллография **16**, 4, 788 (1971).
- [6] Флерова С.А., Самченко Ю.И., Горбенко В.М. ФТТ **23**, 9, 2775 (1981).
- [7] Сканави Г.И., Ксендзов Я.М., Тригубенко В.А., Прохватилов В.В. ЖЭТФ **33**, 320 (1957).
- [8] Кудзин А.Ю. Автореф. докт. дисс. Воронеж (1978).
- [9] Смоленский Г.А., Исупов В.А., Аграновская А.И., Крайник Н.Н. ФТТ **2**, 11, 2982 (1960).
- [10] Иванова В.В., Капышев А.Г., Веневцев Ю.Н., Жданов Г.С. Изв. АН СССР. Сер. физ. **26**, 3, 354 (1962).
- [11] Пронин И.П., Парфенова Н.Р., Зайцева Н.В., Исупов В.А., Смоленский Г.А. ФТТ **24**, 6, 1860 (1982).